АСТРОФИЗИКА

TOM 30

ФЕВРАЛЬ, 1989

выпуск 1

УДК: 524.7—862:520.82

ДЕТАЛЬНАЯ ПОВЕРХНОСТНАЯ ФОТОМЕТРИЯ ГАЛАКТИКИ С ПОЛЯРНЫМ КОЛЬЦОМ NGC 2685

В. В. МАКАРОВ, В. П. РЕШЕТНИКОВ, В. А. ЯКОВЛЕВА Поступила 27 июля 1988
Пранята к печати 20 августа 1988

Приведены результаты детальной поверхностной UBV-фотометрии пекулярной галактики NGC 2685. Определены стандартные фотометрические пираметры: интегральные величины и показателя цвета главного тела галактики, системы полярных колец, внешней оболочки, найдены параметры приближения главного тела двухкомпонентной моделью (балдж + экопоненциальный лиск). Показано, что цвета системы полярных колец (U—B = -0.05, B—V = +0.5) бливии к цветам Sb-Sc-галактик, что, возможно, свидетельствует о ее возникновении в результате взаимодействия спиральной и S0-галактик. Внешняя оболочка состоит из двух подсистем, вероятно, различного происхождения.

1. Введение. Пекулярная галактика NGC 2685 принадлежит к недавно выделениому классу объектов, получивших в литературе название «галактики с полярными кольцами» [1]. Спектральные и фотометрические наблюдения галактик втого класса (например, [1, 2]) показывают, что обычно вто видимая почти с ребра галактика типа SO, вокруг которой в плоскости, близкой к полярной, вращается кольцо или диск, состоящий из газа, пыли и звезд. Сложность наблюдений галактик с полярными кольцами обусловлена тем, что они, как правило, имеют небольшие угловые размеры и низкую поверхностную яркость. В втом отношении NGC 2685 является исключением: она расположена ближе всех галактик из списка [1] и поэтому может быть более детально изучена.

Как известно [3, 4], в структуре NGC 2685 выделяются три компонента: 1) вытянутое веретенообразное главное тело равмером ~ 25"×120", 2) система колец или волокон, расположенных примерно перпендикулярно большой оси галактики и проявляющихся в виде темных полос в северовосточной части главного тела, а вне его переходящих в светлые кольца, и 3) внешняя слабосветящаяся оболочка, которая обнаруживается лишь на глубоких снимках. Большинство имеющихся спектральных [5—7], фотометрических [4] и поляривационных [8, 9] наблюдательных данных от-

носятся к главному телу. В радиодиапазоне ($\lambda=21~{\rm cm}$) NGC 2685 была исследована Шейном [10], обнаружившим две кинематические системы нейтрального водорода, одна из которых овязана с системой полярных колец, а вторая — с протяженной внешней оболочкой. Оптические данные о системе колец и слабой внешней оболочке очень скудны. Целью данной работы является исследование внешней малоконтрастной оболочки и восполнение недостающих оведений о распределении поверхностной яркости и показателей цвета в кольцах.

2. Наблюдательный материал и его обработка. В настоящей работе использован тот же наблюдательный материал, что и в [4] (9 UBV-фотопластинок, по три в каждом цвете, полученных в прямом фокусе 2.6-метрового телескопа БАО АН Арм.ССР). Обработка фотопластинок была произведена заново. Измерение и запись на магнитную ленту были осупрествлены на автоматическом микроденситометре АМД-1 в САО АН СССР. Размер измерительной диафрагмы составлял 30×30 мкм .0."65×
×0."65), шаг записи по оканам и отсчетам — 30 мкм, размер записанного участка — 512×512.

Дальнейшая обработка была выполнена в ВЦ ЛГУ на ЕС-1033 с помощью комплекса программ цифровой обработки изображений протяженных объектов [11]. Она шключала стандартные процедуры: переход от плотностей почернения к относительным яркостям, учет фона неба, сложение нескольких изображений, стандартизацию, определение показателей цвета. Для повышения точности поверхностной фотометрии и выявления слабой малоконтрастной внешней оболочки была произведена оглаживающая линейная фильтрация каждого изображения (частота среза фильтра $\omega_c = 4.4$ цикла/мм) и полиномиальная аппроксимация фона неба. Константы стандартизации определялись привязкой к фотоэлектрическим измерениям яркости фона неба, полученным одновременно со снимками галактики [4]. Точность определения констант стандартизации в полосах B и $V \sim 0^m 1 - 0^m 2$, в полосе U — несколько хуже. Константы стандартивации показателей цвета найдены с точностью $\sim 0^m 1$, так как при их определении меньше сказываются систематические ошибки.

Результаты нашей фотометрической обработки для главного тела хорошо согласуются с полученными ранее в работе [4]. Хорошо согласуются они также и с фотовлектрическими измерениями Дресслера и Сендиджа [12] (см. далее рис. 6).

3. Результаты. Изофоты NGC 2685 в цветовых полосах U, B и V представлены на рис. 1—3. Распределение показателя цвета B—V дается на рис. 4.

3.1. Главное тело. Фотометрическое исследование главного тела NGC 2685 было выполнено в работе [4], здесь же мы остановимся на ранее не обсужденных его особенностях.



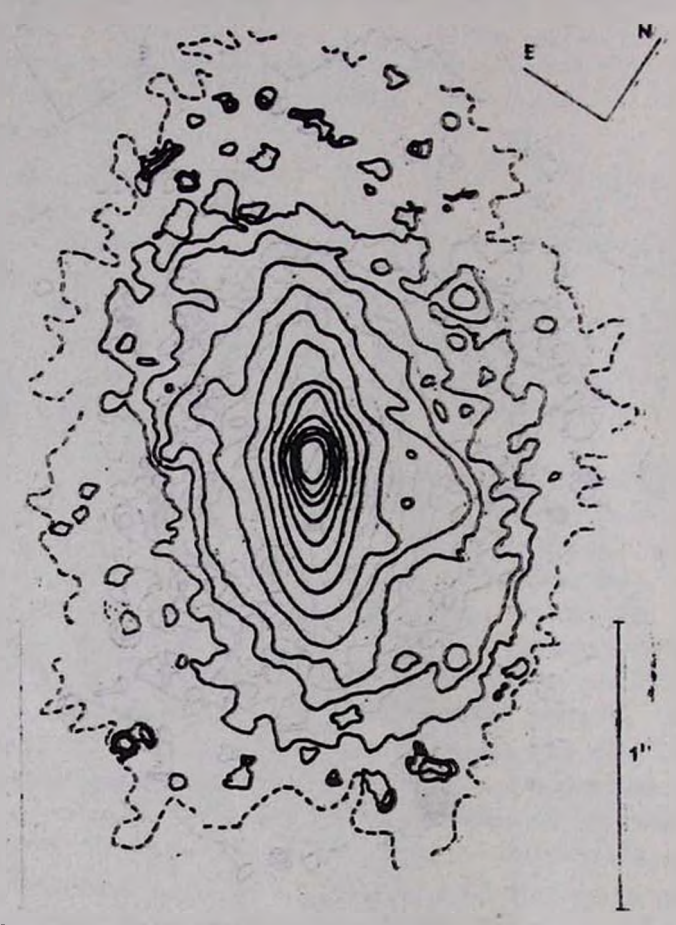
Рис. 1. Распределение поверхностной яркости NGC 2685 в цветовой полосе U. Ярчайшая непрерывная изофота соответствует поверхностной яркости 19.0, крайняя—24.5, пунктир — 25.5. Шаг изофот — 0.5.

Поглощение света в темных полосах NE-части главного тела проявилось на наших картах в искривлении изофот и в увеличении градиента яркости, особенно заметного в цвете U. Сами полосы не выделились, так так после линейного сглаживания всех обрабатываемых изображений минимальный размер сохранившихся деталей ~ 5 ".

О форме изофот главного тела талактики можно судить по ее не искаженной поглощением SW-положине. В цвете B и особенно в V форма изо-



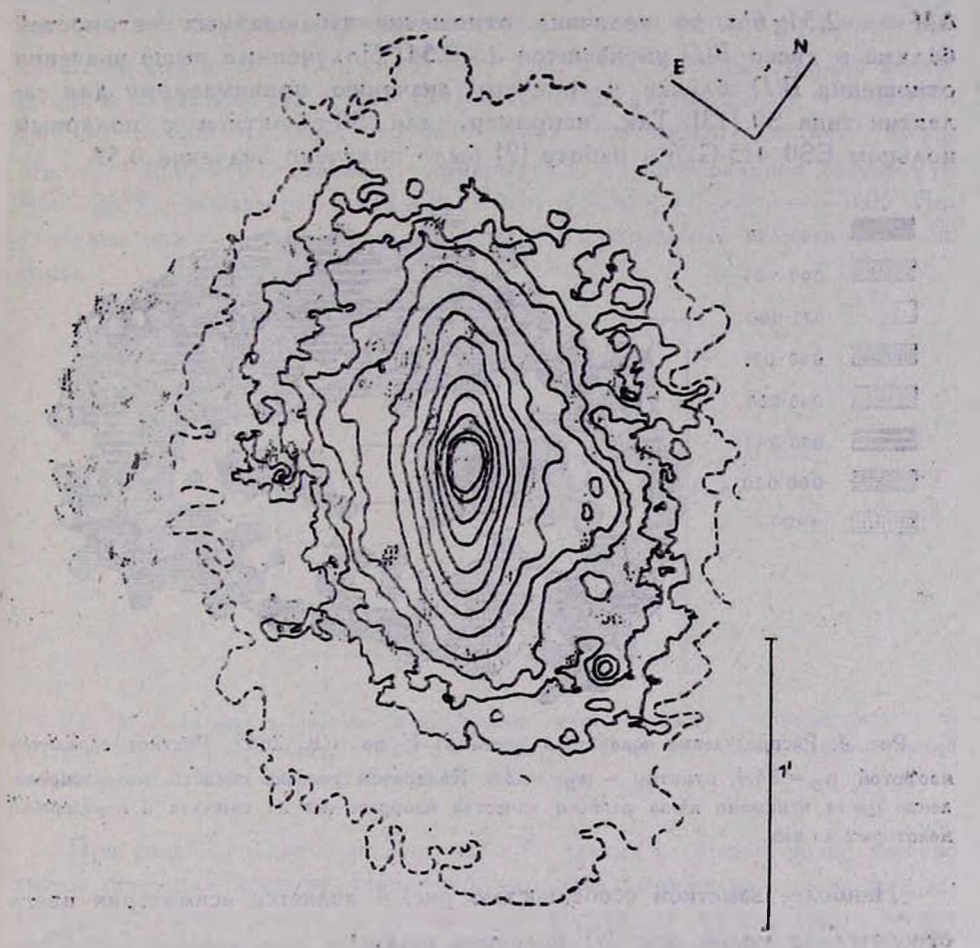
фот бливка к валиптической. Рис. 5 изаюстрирует изменение орнентации валипсов в картинной плоскости и их сжатия с изменением расстояния от центра. Повиционный угол большой оси р (штриховая линия) меняется.



Рыс. 2. Распределение повержностной яркости NGC 2685 в цветовой полосе В. Центральная непрерывная ввофота — 19.0, крайняя — 24.5, пунктыр — 25.5. Шаг насфот — 0.5.

мало — с удалением от центра он монотонно воврастает от 34° при r = 10'' до 40° на расстоянии 60". Сплошной линией на рисунке представлено воведение отношения размеров малой и большой полуосей. Внешний гид изофот, фотометрические раврезы вдоль большой и малой оси [4], высовая скорость вращения звездной составляющей и низжая дисперсия скоростей [7] — вся вта совокупность данных свидетельствует о линвовидности галактики. Еще одним подтверждением втого служит ход зависимость.

отношения b/a от r на рис. 5. Зависимости такого вида характерны для двухкомпонентных систем типа S0, содержащих балдж и диск.



Рыс. 3. Распределение поверхностной яркости NGC 2685 в фильтре V. Центральная непрерывнея изофота — 18.5, крайняя — 24.0, пунктир — 25.5, шаг — 0.5.

Приняв стандартные распределения поверхностной яркости для балджа ($\sim r^{1/4}$) [и диска ($\sim e^{-ar}$) мы представили фотометрический разров вдоль большой оси галактики в цвете B суммой этих компонентов (рис. 6). Параметры балджа и диска, найденные методом наименьших квадратов, приведены в табл. 1.

Наблюдаемые абсолютные ввездные величины балджа и диска в полосе В при R=17 Млж [10] составляют — 18.52 и — 18.60 соответственню. Абсолютная звездная величина главного тела NGC 2685 оказывается равной — 19.3.

Отношение наблюдаемой светимости балджа к светимости диока составляет в фильтре B 0.93. Если ввести поправку за наклон по фермуле $\Delta M = -2.5 \lg b/\alpha$, то величина отношения наблюдаемых светимостей балджа и диска B/D уменьшится до 0.54. Полученные выше значения отношения B/D близки к среднему значению, принимаемому для галактик типа S0 [13]. Так, например, для S0-галактики с полярным кольцом ES0 415-G26 в работе [2] было получено значение 0.52.



Рвс. 4. Распределение показателя цвета B—V по NGC 2685. Рисунок ограничен изофотой $\mu_B=24.4$, пунктир — $\mu_B=22.8$. Квадратом указана область, где распределение цвета искажено вз-за развого качества изображения на снимках и передержки некоторых из них.

Наиболее ваметной особенностью рис. 4 является асимметрия цвета относительно малой оси: NE-половина главного тела краснее ($B-V\approx$ $\approx+1.05$), чем SW-половина ($B-V\approx+0.95$), что объясняется селективным поглощением света пылью в области темных полос. Отметим, что наиболее красные части главного тела разделены в центре относительно более голубой полосой ($B-V\approx+0.8$), примерно совпадающей по нацравлению с малой осью. Цвет B-V SW-части главного тела довольно постоянен и изменяется от $+1^m0$ до $+0^m8$ при изменении рестояния от ядра вдоль большой оси от 10^m до 50^m .

3.2. Полярные кольца. Структура системы колец хорошо видна в цветах U и B. Размер большой оси самого яркого светящегося кольца в пределах изофоты $\mu_B=23.0$ составляет около 80°, позиционный угол $p\approx$

 $\approx 100^{\circ}$. При определении интегральных характеристик кольца учитывались все детали, выступающие над главным телом галактики до изофоты $\mu_U = 23.0$. Получены следующие значения видимой яркости и средних показателей цвета: B = 15.3, $\overline{B-V} = +0.54$, $\overline{U-B} = -0.02$. Приняв поглощение в Галактике $A_B = 0.15$ [14] и избытки цветов $E_{B-V} = +0.04$ и $E_{U-B} = +0.03$, находим, что абсолютная светимость системы колец $M_{B_0} = -16.0$, что составляет примерно 3% от интегральной светимости NGC 2685, а показатели цвета (B-V)0 = +0.50 и (U-B)0 = -0.05. Полученные показатели цвета характерны для спиральных галактик Sb—Sc типов.

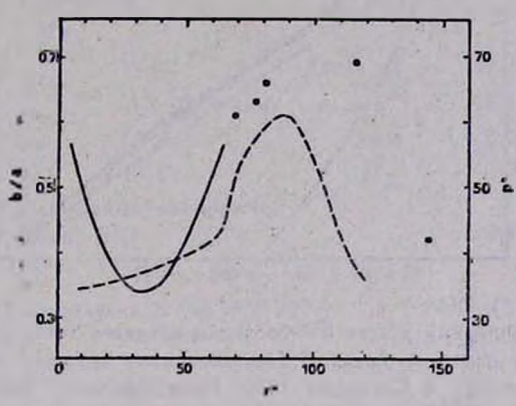


Рис. 5. Зависимость сжития (вепрерывная линия, кружки) и повиционного угла: большой оси (пунктир) изофот NGC 2685 в полосе В от расстояния вдоль большой оси. Измерения выполнены по SW-половине галактики.

При тонкой градации изофот на *UBV*-картах в системе колец хорошо видны стущения яркости. Например, наиболее выраженная часть (западная) кольца имеет довольно резкий край, состоящий из отдельных стущений. Фотометрические характеристики наиболее ярких стущений приведены в табл. 2, где в последнем столбце указана изофота, до которой производилось суммирование для данной конденсации. Номера сгущений приведены в соответствии с рис. 1. Звездочкой в таблице отмечен двойной сгусток.

Следует отметить, что приведенные в таба. 2 значения светимостей являются лишь нижней оценкой истинной светимости втих образований, так как нам не известна величина потлощения в самих кольцах. Существование же пыли в системе колец подтверждается, во-первых, обнаружением поляризации [8] с направлением, перпендикулярным к направлению колец и, во-вторых, наличием темных полос в NE-части главного тела, являющихся продолжением светлых волокон. Цвета и абсолютные величи-

ны сгущений яркости (их средние величины — B=V=+0.45, U=B==-0.3 и $M_{B_1}=-12.6$) типичны для гигантоких областей Н II в ветвях спиральных галактик.

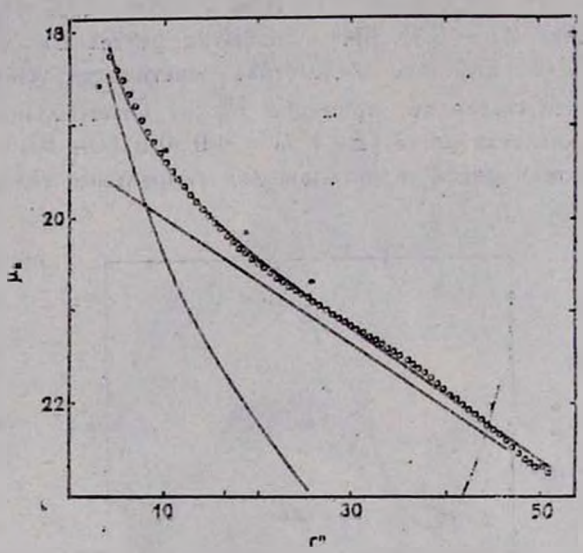


Рис. 6. Фотомотряческий разрез SW-половины главного тела галахтики NGC 2685 вдоль большой оси в цветовой полосе В (незаполненные кружки — измерения Дресслера и Сендиджа [12]. Непрерывными линиями изображены распределения яркости в бладже и дноке (см. раздел 3.1), а также результирующее приближение наблюдаемого профиля яркости.

- 3.3. Слабосветящаяся оболочка. Изофота 25.5 лишь приблизительно очерчивает внешнюю оболочку (см. рис. 1—3). Четкой границы у нее нет и, по-видимому, в северном направлении она простирается за обработанную нами область фотоснимков. Если называть внешней оболочкой всю протяженную слабосветящуюся область, поверхностная яркость которой в полосе В не превышает 23.5, то, по нашему мнению, ее следует разделить на две подсистемы.
- 1) Внутренняя относительно яркая оболочка (23.6 $\leq \mu_B <$ 24.4), развернутая на 20° относительно главного тела (обозначена (А) в табл. 1). Ей соответствует максимальное значение позиционного угла большой оси при r = 90'' на рис. 5. Размер большой оси в пределах изофоты 24.4 около 155''. Видимая звездная величина и средняя поверхностная яркость этой подсистемы в фильтре В равны соответственно 14.65 и 24.0, а $M_{B_0} = -16.65$. По-видимому, эта оболочка имеет сравнительно резкий край и состоит из отдельных голубых волокон и аморфных уярчений, хорошо видимых на картах B и U. В цвете V оболочка кажется более однородной.

ФОТОМЕТРИЧЕСКИЕ ХАРАКТЕРИСТИКИ NGC 2685

Гадактика в цело	M:
Расстояние, R (Мпя) [10]	17
Поглощение в Галактике, A_B [14]	0.15
Абсолютная зв. велячина, М	-19.6
$(B-V)_{\tau}$ [16]	. +0.85

SO-ROMHOHOHT:

Passep (
$$\mu_B = 23.5$$
)
 $\sim 30'' \times 120''$
 $(B - V)_0$
 $+0.95$
 $(U - B)_0$
 $+0.3$
 M_{B_0}
 -19.45

Балдж
$$\mu^B$$
 19.32 Диск μ^B_0 19.43

 a 5″,9 (0.49 кик) a^{-1} 16″,1 (1.32 кик)

 b/a 0.6: b/a 0.35

 M_{B_0} —18.67 M_{B_0} —18.75

Отношение наблюдаемых светимостей 6алджа и диска, B/D

0.93

Полярные кольца:

Большая полуось,
$$\alpha$$
 ($\mu_B=23.0$) 40" (3.3 ких) ($B-V$)₀ +0.50 ($U-B$)₀ -0.05 M_B

Внешняя оболочка:

(A)
$$23.6 < \mu_B < 24.4$$
 (B) $24.4 < \mu_B < 25.5$ $\alpha \ (\mu_B = 24.4)$ $80^\circ \ (6.6 \ \text{edg})$ $\alpha \ (\mu_B = 25.5)$ $2.5 \ (12.4 \ \text{edg})$ $\alpha \ (\mu_B = 25.5)$ $\alpha \ (12.4 \ \text{edg})$ $\alpha \ (12.4 \ \text{edg})$

Таблица 2

No.	В	B_0	$(B-V)_0$	$(U-B)_0$	M _{Bo}	μB
1	17.63	17.5	+0.4	-0.4	—13.7	22.5
2	18.72	18.6	+0.4	-0.1	-12.6	22.6
3	18.52	18.4	+0.4	-0.1	-12.8	22.6
4*	18.48	18.3	+0.5	-0.4	-12.9	22.7
5	19.34	19.2	+0.4	-0.3	-12.0	22.7
6	19.58	19.4	+0.5	-0.4	-11.8	22.9

ХАРАКТЕРИСТИКИ КОНЛЕНСАЦИЯ В NGC 2685

Покаватели цвета внутренней оболочки ближки к средним покавателям цвета полярного кольца, но имеется и ряд более голубых аморфных уярчений. Наряду с втим в западной части оболочки наблюдаются детали с покавателем цвета U-B более красным, чем $+0.^m4$. Эти области частично вахватывают SW-край галактики. На прямых снимках NGC 2685 (см., например, [15]) в втом районе заметно падение яркости и, возможно, эдесь тоже проходит пылевая полоса.

Приняв во внимание разворот внутренней оболочки относительно главного тела, наличие пыли и совпадение показателей цвета со средними значениями для полярных колец, мы пришли к ваключению, что эта подсистема скорее связана с полярными кольцами, чем с внешней вллиптической оболочкой.

2) Наружная более слабая оболочка, ограниченная изофотами 24.4 $<\mu_B < 25.5$ (обозначена (В) в табл. 1). Возможно, оболочка простирается и дальше, но ее край очень размыт и при определении видимой звездной величины и других ее характеристик суммирование производилось до изофоты $\mu_B = 25.5$. Средняя поверхностная яркость этой оболочки 24.8, а ее абсолютная светимость $M_{B_0} = -16.5$. Размер большой оси оболочки около 5′, а направление вытянутости примерно совпадает с направлением большой оси главното тела (черный кружок на рис. 5, соответствующий r = 145″). Отметим, что в цвете U сжатие оболочки меньше, чем в B и V. На снимках в B на северо-восток и, вероятно, на юго-запад от примерно вллиптической оболочки тянутся слабые хвосты. Слабое волокно, тянущееся на северо-восток, совпадает с вытянутостью на радиокарте в линии 21 см [10].

Характерный цвет B—V наружной оболочки ± 0.45 , но дисперсия вначений велика. Показатель цвета U—B изменяется в широких пределах от ± 0.6 до ± 0.2 , более красные участки редки. Частично большой разброс значений объясняется плохой точностью фотометрии для столь низжих значений поверхностной яркости, однако можно утверждать, что средние значения показателей цвета внешней оболочки близки к цветам, полученным для спущений яркости в системе колец.

На жарте в полосе B (рис. 2) обращает на себя внимание цепочка конденсаций, имеющих неправильную, часто вытянутую форму. В NE-части оболочки большая часть втих сгущений ложится на дугу вллипса. Для двух средних по яркости стущений были найдены интегральные характеристики: их абсолютные светимости в B оказались равными —10.5—10.8, а показатель цвета $B-V \approx +0.2$. По втим характеристикам сгущения яркости близки к ассоциациям молодых эвезд в БМО.

Полученные в настоящей работе фотометрические характеристики NGC 2685 и ее подструктур суммированы в таба. 1.

4. Обсуждение. Из восьми галактик с полярными кольцами, приведенных в [1], лишь у NGC 2685 размер системы колец существенно меньше размера главного тела. По своей структуре система кольцевых воложон в этой галактике также заметно отличается от подобных образований в других, более далеких SO-галактиках — геометрически тонких и, как правило, одиночных колец или дисков. Эти очевидные отличия приводят к выводу о том, что система полярных колец в NGC 2685 находится, вероятно, в стадии формирования или, наоборот, разрушения.

Среди гипотез образования полярных колец наибольшее число сторонников имеет гипотеза об образовании колец вследствие аккреции вещества из межталактического облака или из соседней галактики. Различаются две возможности: 1) захват и погружение соседней карликовой галактики, богатой газом и пылью, и 2) аккреция части вещества сблизившейся галактики вследствие приливного взаимодействия. Шейн [10], вслед за Тумре [17], рассматривает захват жарликовой галактики или межгалактического облака, двигавшегося почти параллельно оси вращения S0-галактики. В этом случае оффект дифференциальной прецессии незначителен, основная масса газа не может быстро осесть к экваториальной плоскости галактики, но динамическое трение с газом в дисковой составляющей линзы, а также взаимодействие со звездным ветром приводят к потере углового момента. Так может появиться туго закрученная спираль из газа и пыли, охватывающая главное тело. Перечислям основные трудности, с которыми встречается эта гипотеза в случае NGC 2685:

- 1) Если считать кольца спирали лежащими в одной плоскости, то ее истинные размеры должны заметно превосходить видимые.
- Дентр галажтики не совпадает с центром системы спиральных волокон.
- 3) Относительное положение светящихся ветвей и пылевых полос на фоне NE-части тлавного тела имеет систематическое различие, характерное для спиральных галактик.
- 4) Средние цвета выступающих над телом галактики частей кольца характерны для спиралей Sb—Sc-типов. Цвета и абсолютные звездные величины сгущений яркости в кольце типичны для гитантских областей Н II в ветвях опиральных галактик.

Последние три обстоятельства позволяют предположить, что наблюдаемая картина скорее объясняется столкновением линзовидной галактики со спиральной. Остаются загадочными возможная некомпланарность колец и вращение звезд и газа вдоль малой оси в разных направлениях.

Что же касается внешней оболочки, то кажется вполне разумным предположение Шейна [10], считающего, что внешнее кольцо может быть вначительно более старым, чем полярные кольца и могло быть образовано

в результате столкновения с межгалактическим облаком или сохранить-

Для дальнейшего продвижения в исследовании NGC 2685, на наш взгляд, большое значение имеет изучение структуры протяженной внешней оболочки и динамики системы полярных колец, для чего необходимы новые фотометрические и спектральные наблюдения высокого качества.

. Ленинградский государственный униворситет

DETAIL SURFACE PHOTOMETRY OF THE GALAXY WITH POLAR RING NGC 2685

V. V. MAKAROV, V. P. RESHETNIKOV, V. A. YAKOVLEVA

Absolute surface UBV-photometry of the peculiar galaxy NGC 2685 is provided. Integral magnitudes and colour indices of the "main body", polar rings and outer envelope are obtained. The buldge and disk components are distinguished in the spindle and this is one more argument that NGC 2685 is a normal lenticular galaxy seen nearly edge-on. The colours of the polar rings (U-B=-0.05, B-V=+0.50) are very similar to those of Sb-Sc galaxies. These rings may be caused by interaction of the spiral galaxy with a S0 companion. The outer envelope consists of two subsystems, probably of different origin.

ЛИТЕРАТУРА

- 1. F. Schweizer, B. C. Whitmore, V. C. Rubin, Astron. J., 83, 909, 1983.
- 2. B. C. Whitmore, D. B. McElroy, F. Schweizer, Astrophys. J., 314, 439, 1987.
- 3. E. M. Burbidge, G. R. Burbidge, Astrophys. J., 130, 20, 1959.
- 4. В. А. Газен-Тори, И. И. Попов. В. А. Яковлева, Астрофизика. 19, 599, 1983.
- 5. M.-H. Demoulin, Comp. Red. Acad. Sci., 260, 3287, 1965.
- 6. M.-H. Ulrich, Publ. Astron. Soc. Pacif., 87, 965, 1975.
- 7. P. L. Schechter, J. E. Gunn, Astron. J., 83, 1360, 1978.
- 8. A. Elvius, Astrophys. and Space Sci., 55, 49, 1978.
- 9. В. А. Газен-Торн, И. И. Попов, В. А. Яковлева, Пысьма в Астрон. ж., 5, 8, 1979.
- 10. W. W. Shane, Astron. and Astrophys., 82, 314, 1980.
- 11. В. В. Макаров, В. П. Решетников, В. А. Яковлева, Т.р. АО ДГУ, 41, 112, 1987.
- 12. A. Dressler, A. Sandage, Astrophys. J., 265, 664, 1983.
- 13. F. Simien, C. de Vaucouleurs, Astrophys. J., 302, 564, 1986.
- 14. D. Burstein, C. Heiles, Astrophys. J. Suppl. Ser., 54, 33, 1984.
- 15. A. R. Sandage, The Hubble Atlas of Galaxies, Washington, 1961.
- G. de Vaucouleurs, A. de Vaucouleurs, H. G. Corwin. Second Reference Catalogue of Bright Galaxies, Univ. Texas, Austin, 1976.
- 17. A. Toomre, in "The Evolution of Galaxies and Stellar Populations", ed. B. Tinsley, R. B. Larson, New Haven. Yale Univ. Observ., 401, 1977.